

京都大学工学部 正員 工博 小西一郎
 京都大学工学部 正員 工博 白石成人
 京都大学工学部 学生員 工修〇玉村三郎

1. まえがき

変形法による骨組構造物の静的解析において、骨組によって構成されるネットワークのもつトポロジー的性質、いわゆるネットワークトポロジーを利用することにより電子計算機による解析に適した組織的、能率的な解法を確立するための基礎的研究が、近年、行なわれるようになった。⁽¹⁾⁽³⁾

これらの研究の応用の一環として、支持端を固定とした立体ラーメンを対象とし、その変形法にもとづく解式を W.R. Spiller⁽¹⁾にしたがって、変形節点接続行列 (Modified Incidence Matrix) をもちいて表わし、A.S. Householder⁽²⁾による逆行列計算法をくり返し適用することにより、フレキシビリティ・マトリックスを求める新しい計算法を確立する。

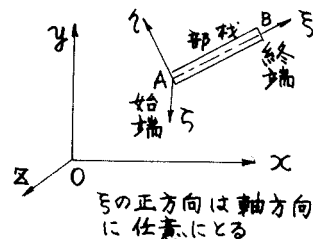
2. 基礎式の変形節点接続行列による表現および、その解法⁽¹⁾

立体ラーメンの、支持端を除く節点、および、部材に対し支持端より鉛直上方に向って、順番に番号をつける。

座標系を第1図のようにとるものとする。 i 部材の A-5 節点の座標系の基準座標系 O-xyz に関する回転を表わすマトリックスを Λ_i^i 、 i 部材の B 端にはたらく単位の大きさの軸方向力、せん断力が A 端に關してもつモーメントの 5 軸方向成分を表わすマトリックスを X_i^i とすると

$$\Lambda_i^i = \begin{pmatrix} \lambda_i^i & \mu_i^i & \nu_i^i \\ \lambda_i^i & \mu_i^i & \nu_i^i \\ \lambda_i^i & \mu_i^i & \nu_i^i \end{pmatrix} \quad X_i^i = \begin{pmatrix} 0, 0, 0 \\ l_i \lambda_i^i, l_i \mu_i^i, l_i \nu_i^i \\ -l_i \lambda_i^i, -l_i \mu_i^i, -l_i \nu_i^i \end{pmatrix} \quad l_i : i \text{ 部材長}$$

$(\lambda_i^i, \mu_i^i, \nu_i^i)$: z 軸の xy 平面上に關する方向余弦



第1図 座標系

部材と節点の結合状態を表わすグラフ (Graph) をつくう
グラフを規定する、いくつかの行列を定義する。⁽¹⁾⁽³⁾

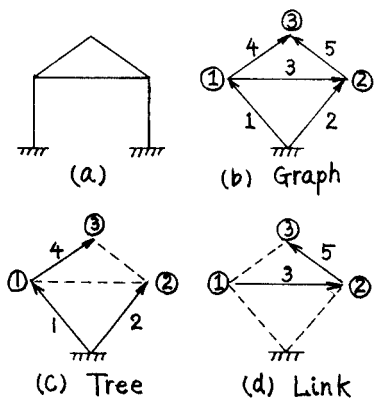
節点接続行列 $A(a_{ij})$

$$a_{ij} = \begin{cases} 1 & \dots i \text{ 部材の始端が } j \text{ 節点に接続しているとき} \\ -1 & \dots " の終端が " " " \\ 0 & \dots i \text{ 部材が } j \text{ 節点に接続していないとき} \end{cases}$$

グラフを、その中に網路 (Loop) をもたない Tree と、残りの Link に分け、T, L の添字をつけて表わすと

$$A = \begin{bmatrix} A_T \\ A_L \end{bmatrix} \quad \text{第2図 (c), (d) において } \begin{matrix} ① & ② & ③ \\ 1 & -1 & 0 & 0 \\ 0 & 1 & -1 & 0 \end{matrix}$$

$$A_L = \begin{bmatrix} ① & ② & ③ \\ 1 & -1 & 0 \\ 0 & 1 & -1 \end{bmatrix} \quad A_T = \begin{bmatrix} 1 & -1 & 0 & 0 \\ 0 & 1 & -1 & 0 \\ 1 & 0 & -1 & 0 \end{bmatrix}$$



第2図

B_T 行列 (Node-to-datum path matrix) $B_T(b_{ij})$

$$b_{ij} = \begin{cases} 1 & i \text{ 部材が } j \text{ 節点から支持点への経路に含まれ、同じ向きのとき} \\ -1 & " " " " " \text{ 逆の向きのとき} \\ 0 & " " " " \text{ 経路に含まれないとき} \end{cases}$$

第2図(c)において

$$B_T = \begin{bmatrix} 1 & -1, 0, -1 \\ 2 & 0, -1, 0 \\ 4 & 0, 0, -1 \end{bmatrix}$$

一般に、 A_T と B_T との関係は次式で与えられる。⁽³⁾

$$A_T^{-1} = B_T^t \quad \dots \dots \dots \quad (1)$$

電気のネットワーク解析の場合は、これらの行列を、そのままの形で用いることができるが、立体ラーメンの場合は、1 節点に 6 つの変位、力をともなうので、部材の位置、方向に応じて、つきのように変形する。⁽¹⁾

変形節点接続行列 A

$$\left\{ \begin{array}{l} a_{ij} = 1 \rightarrow \begin{bmatrix} \lambda_i & 0 \\ 0 & \lambda_i \end{bmatrix} \\ a_{ij} = -1 \rightarrow -\begin{bmatrix} \lambda_i & x_i \\ 0 & \lambda_i \end{bmatrix} \\ a_{ij} = 0 \rightarrow \begin{bmatrix} 0 & 0 \\ 0 & 0 \end{bmatrix} \end{array} \right.$$

B_T 行列

$$\left\{ \begin{array}{l} b_{ij} = 1 \rightarrow \begin{bmatrix} \lambda_i & 0 \\ 0 & \lambda_i \end{bmatrix} \\ b_{ij} = -1 \rightarrow -\begin{bmatrix} \lambda_i & 0 \\ x_i & \lambda_i \end{bmatrix} \\ b_{ij} = 0 \rightarrow \begin{bmatrix} 0 & 0 \\ 0 & 0 \end{bmatrix} \end{array} \right.$$

$$A = \begin{bmatrix} A_T \\ A_L \end{bmatrix} \text{ とすれば } A_T^{-1} = B_T^t \quad \dots \dots \dots \quad (2)$$

変形法による基本式を A を用いて表わす⁽¹⁾

$$D = (A^t K A)^{-1} P \quad \dots \dots \dots \quad (3)$$

$$\text{節点変位 } D = \begin{pmatrix} D_1 \\ D_2 \\ \vdots \\ D_{n-1} \\ D_n \end{pmatrix} \quad D_i = \begin{pmatrix} u \\ v \\ w \\ \theta_x \\ \theta_y \\ \theta_z \end{pmatrix} \quad \text{荷重 } P = \begin{pmatrix} P_1 \\ P_2 \\ \vdots \\ P_{n-1} \\ P_n \end{pmatrix} \quad P_i = \begin{pmatrix} P_x \\ P_y \\ P_z \\ M_x \\ M_y \\ M_z \end{pmatrix}$$

$K = [K_{ij}]$ K_{ij} は j 部材の終端を固定したときのスティフネス・マトリックスである。

$$\text{Householder によれば}^{(2)} \quad (Z + A^t K A)^{-1} = Z^{-1} - Z^{-1} A^t (A Z^{-1} A^t + K^{-1})^{-1} A Z^{-1} \quad \dots \quad (4)$$

この式を適用すると

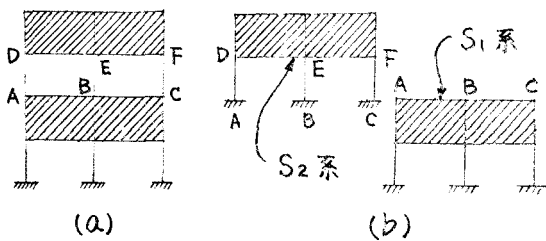
$$(A^t K A)^{-1} = F - F A_L^t (A_L F A_L^t + K_L^{-1})^{-1} A_L F \quad \dots \quad (5)$$

$$\text{ここで } F = (A_T^t K_T A_T)^{-1} = B_T^t K_T^{-1} B_T, \quad K = \begin{bmatrix} K_T & 0 \\ 0 & K_L \end{bmatrix}$$

F は、トポロジーの性質を利用することにより求められる。したがって、逆行列として、Link のスティフネス・マトリックスと同じ次元のものを求めるだけでよい。

3. 立体ラーメンの新しい解法

立体ラーメンのフレキシビリティ・マトリックスを求めるために、第3図(b)のように、節点A, B, Cで分割し、切断点を固定して、 S_1 , S_2 の独立したラーメンとして解析し、この結果をつかって、全体のラーメンのフレキシビリティ・マトリックスを求めるものである。



第3図 斜線の部分は任意の大きさのラーメンをしめす

変形節点接続行列

$$A = \begin{bmatrix} A_1 & 0 \\ C & A_2 \end{bmatrix}, \quad C = \begin{bmatrix} 0, C_1 \\ 0, 0 \end{bmatrix},$$

S_2 の変形節点接続行列

$$A_2 = \begin{bmatrix} C_2 & 0 \\ a_2 & a_1 \end{bmatrix}$$

S_1 のフレキシビリティ・マトリックス

$$F_1 = \begin{bmatrix} Z_d, Z_c \\ Z_b, Z_a \end{bmatrix}$$

S_2 の " " " "

$$F_2 = \begin{bmatrix} Z_h, Z_g \\ Z_f, Z_e \end{bmatrix}$$

S_2 部材の終端を固定したときのスティフネスマトリックス

$$K_2 = \begin{bmatrix} f_2 & 0 \\ 0 & K_1 \end{bmatrix}$$

ここで $A_1: S_1$ の変形節点接続行列

$A_2: S_2$ の " " " "

$C_1: m \times n$ 行列

$C_2: m \times l$ 行列

$m: \text{切断点に接続する } S_2 \text{ 部材の数} \times 6$

$n: \text{切断点の数} \times 6$

$l: \text{切断点に接続する } S_2 \text{ 部材の他端に接続する } S_2 \text{ 内の節点数} \times 6$

$Z_a: n \times n$ 行列

$Z_h: l \times l$ "

S_2 部材の " " " " フレキシビリティ・マトリックス

$$Z_2 = \begin{bmatrix} f_2 & 0 \\ 0 & f_1 \end{bmatrix}$$

$f_2: m \times m$ 行列

S_1 部材の " " " " のスティフネスマトリックス: K_1

$$\begin{aligned} (\mathbf{A}^t \mathbf{K} \mathbf{A})^{-1} &= \left(\begin{bmatrix} A_1^t & C^t \\ 0 & A_2^t \end{bmatrix} \left[\begin{bmatrix} K_1 & 0 \\ 0 & K_2 \end{bmatrix} \right] \begin{bmatrix} A_1 & 0 \\ 0 & A_2 \end{bmatrix} \right)^{-1} = \left(\begin{bmatrix} A_1^t K_1 A_1 & 0 \\ 0 & A_2^t K_2 A_2 \end{bmatrix} + \begin{bmatrix} C^t K_2 C & C^t K_2 A_2 \\ A_2^t K_2 A_2 & 0 \end{bmatrix} \right)^{-1} \\ &= \left(\begin{bmatrix} A_1^t K_1 A_1 & 0 \\ 0 & A_2^t K_2 A_2 \end{bmatrix} + \begin{bmatrix} 0 \\ A_2^t \end{bmatrix} [K_2] [C, 0] + \begin{bmatrix} C^t \\ 0 \end{bmatrix} [K_2] [C, A_2] \right)^{-1} \end{aligned}$$

上式にHouseholderの式をくり返し適用すると

$$(\mathbf{A}^t \mathbf{K} \mathbf{A})^{-1} = \begin{bmatrix} F_1, 0 \\ 0, F_2 \end{bmatrix} - \left[\begin{bmatrix} [Z_b, Z_a]^t d_1 \cdot [Z_b, Z_a], [Z_b, Z_a]^t d_2 \cdot [Z_h, Z_g] \\ [Z_h, Z_g]^t d_2^t [Z_b, Z_a], [Z_h, Z_g]^t d_3 \cdot [Z_h, Z_g] \end{bmatrix} \right]. (b)$$

ここで

$$F_1 = (A_1^t K_1 A_1)^{-1} = \begin{bmatrix} Z_a & Z_c \\ Z_b & Z_a \end{bmatrix} \quad F_2 = (A_2^t K_2 A_2)^{-1} = \begin{bmatrix} Z_h & Z_g \\ Z_f & Z_e \end{bmatrix}$$

$$d_2 = (C_1 Z_a C_1^t + C_2 Z_h C_2^t \cdot R_2 \cdot C_1 Z_a C_1^t + f_2)^{-1}$$

$$d_1 = d_2 - d_2 \cdot C_2 Z_h C_2^t \cdot R_2$$

$$d_3 = R_2 \cdot C_1 Z_a C_1^t \cdot d_2$$

この式をくり返し用いることにより、つきつきにラーメンを拡大していくことができる。

また、分割の方法をかえることにより、逆行列の次元を増減できる。

解法の手順

- (1) データとして、節点接続行列、部材長、断面の各常数、 Λ_i 、荷重、分割後の節点番号をえる。
- (2) 変形節点行列の計算、および K_1, K_2 の計算。
- (3) $A_1^t K_1 A_1, A_2^t K_2 A_2$ から F_1, F_2 を任意の方法により計算。Tree と Link による方法がよい。
- (4) F_1, F_2 から全体のフレキシビリティ・マトリックス F を求める。
- (5) 分割数が多い場合、以上の計算をくり返す。

4. 結言

- (1) データを最小限のものとし、任意形状の立体ラーメンを同一プログラムで処理できる。
- (2) 不静定次数が高くなる場合でも、電子計算機の容量に応じて分割数をかえ、各部分の計算を独立に行なうことができる。連鎖仕事 (Chain job) 方式により処理できる。
- (3) これは、立体ラーメンの問題のみでなく、ネットワークの問題へのアナロジーが成立する他の問題に応用できる。連続体を discrete 状態によって角解析する場合への応用が可能であると考える。(検討中)
- (4) 節点接続行列という、よぶんな行列を扱うので、必要なメモリーの増加が考えられる。しかし、その要素は 1, -1, 0 であるので“1語 (32 ビット) の中に 16 ~ 32ヶを貯え 1 ビットごとに操作するプログラム言語、例えは、日立の HITAC 5020 の HISAP を使用することにより、ある程度、解決できる。

参考文献

1. F. L. DiMaggio & W. R. Spiller "Network Analysis of Structures" E. M. Proc. ASCE. Vol 91 (1965) Jun. pp 169 - 188
2. A. S. Householder "A Survey of Some Closed Method for Inverting Matrices" Journal of Soc. of Ind. and Appl. Math. 1958
3. S. J. Fenves & F. H. Branin "Network-Topological Formulation of Structural Analysis" S. T. ASCE. Vol 92 (1966) Feb. pp 199 - 221